



ساخت و بررسی خواص ساختاری نانوذرات هگزافریت استرانسیوم نوع M آلائیده شده با کبالت

مرتضی زرگر شوشتري^{*}، فرشته رنجبر، سید ابراهیم موسوی قهفرخی

گروه فیزیک، دانشکده علوم، دانشگاه شهید چمران اهواز

(دریافت مقاله: ۹۰/۸/۲۸، نسخه نهایی: ۹۰/۱۲/۲۰)

چکیده: در این مقاله، نانوذرات هگزافریت استرانسیوم نوع M آلائیده شده با کبالت $SrFe_{12-x}Co_xO_{19}$ با ($x = 0 - 2$) به روش سل-ژل تهیه شدند. خواص ساختاری و ریختشناسی نمونه‌ها با الگوی پراش پرتو ایکس (XRD)، طیف فروسرخ تبدیل فوریه (FT-IR) و میکروسکوپ الکترونی روشنی (SEM) بررسی شدند. نتایج حاصل از XRD نشان دادند که نمونه‌های ساخته شده با ترکیب $SrFe_{12-x}Co_xO_{19}$ با مقادیر $x \geq 0.5$ شده‌اند. اما برای مقادیر $x < 0.5$ ، فاز ثانویه $CoFe_2O_4$ در نمونه ظاهر می‌شود که در این حالت، یون‌های کبالت جانشین یون‌های Fe^{3+} شده‌اند. اما برای مقادیر $x > 0.5$ ، فاز ثانویه $CoFe_2O_4$ در همه نمونه‌ها نشان می‌دهند که ثابت شبکه (a) با علاوه بر جانشینی، به صورت فاز جداگانه در ساختار باقی می‌مانند. نتایج حاصل از اندازه‌گیری‌ها نشان می‌دهند که ثابت شبکه (c) با افزایش مقدار آلائیش کبالت (x)، تقریباً ثابت مانده، در حالی که مقدار ثابت شبکه (c) با افزایش x، کاهش می‌یابد. وجود قله‌های جذبی FT-IR در گستره ۴۳۰ - ۴۷۰ cm^{-1} و ۵۶۰ - ۵۸۰ cm^{-1} در همه نمونه‌ها، به ترتیب بیانگر تشکیل خوش‌های چهاروجهی و هشتوجهی اکسیدهای فلزی در فریت‌ها هستند.

واژه‌های کلیدی: هگزافریت / استرانسیوم؛ کبالت؛ نانوذرات؛ روش سل-ژل؛ آلائیش.

مقدمه

اکسیژن، جایگاه‌های ششگوشی و یون‌های فلزی کوچک‌تر، فضای بین آن‌ها را اشغال می‌کنند. جایگاه‌های بین اکسیژنی دو نوع‌ند: یکی چهار وجهی (A)، که در این جایگاه یون فلزی با چهار یون اکسیژن در برگرفته است. خطوط اتصال بین مراکز یون فلزی و اکسیژن‌ها، یک چهاروجهی تشکیل می‌دهند (FeO_4). دومین جایگاه، جایگاه هشتوجهی (B)، که در این جایگاه یون فلزی با شش یون اکسیژن احاطه شده است. خطوط اتصال بین مراکز یون فلزی و اکسیژن‌ها، یک هشت وجهی تشکیل می‌دهند (FeO_6). [۴]. ۲۴ یون Fe^{3+} در ۵ چایگاه متفاوت توزیع شده‌اند: سه جایگاه هشت وجهی (12k)، یک جایگاه چهار وجهی (4f₁) و یک جایگاه درون شبکه‌ای دوهمرمی مثلث القاعده (2b). جایگاه 2b در ساختارهای

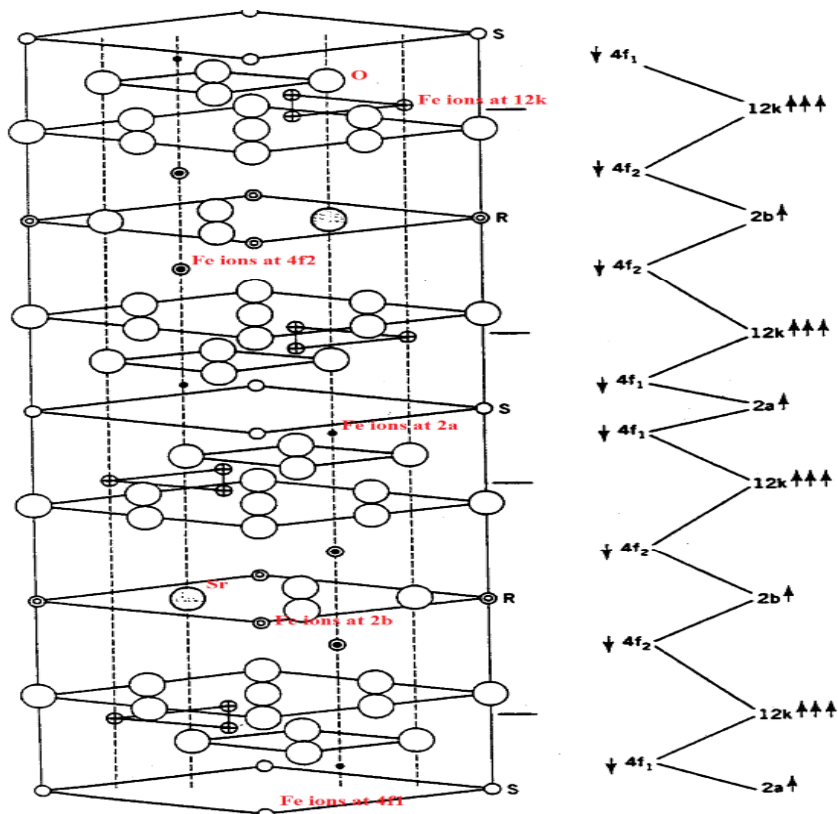
فریت‌های ششگوشی نوع M، دارای فرمول عمومی $MO_{6Fe_2O_3}$ بوده و ($M = Ba, Sr, Pb$) است. این فریت‌ها، به گروه فضایی ($P6_3/mmc$) وابسته و دارای ساختار مغناطی‌پلیمیت هستند. ساختار فریت‌های ششگوشی نوع M، شبیه به ساختار بلوری سنگ معدنی مغناطی‌پلیمیت $PbFe_{7.5}Mn_{3.5}Al_{0.5}Ti_{0.5}O_{19}$ [۱]. بنابر شکل (۱)، سلول واحد مغناطی‌پلیمیت ($MFe_{12}O_{19}$) شامل دو واحد فرمولی با ۶۴ یون بر واحد سلول، در ۱۱ جایگاه متقاضی مختلف بوده و حاوی ۱۰ لایه اکسیژنی تنگ‌پکیده است که به‌طور شش‌گوشی در راستای محور C قرار گرفته‌اند [۲]. یون دوظرفیتی M^{2+} در هر پنجمین لایه، جانشین یک اتم اکسیژن می‌شود [۳]. آنیون‌های

* نویسنده مسئول، تلفن: ۰۰۶۱۱ (۳۳۳۱۰۴۰)، نامبر: ۰۶۱۱ (۳۳۳۱۰۴۰)، پست الکترونیکی: zargar@scu.ac.ir

تبادلی، با یون‌های O^{2-} ، ساختار فریمغناطیس را تشکیل می‌دهند [۳].

با فناوری نانو و نیز با جانشانی کاتیون‌های مختلف، می‌توان رفتار مواد را زیر کنترل گرفت [۵]. با جانشینی فلزات مختلف، از قبیل Zn^{2+} و Co^{2+} و Mn^{2+} به جای Fe^{3+} در ساختار $SrFe_{12}O_{19}$ ، می‌توان خواص ساختاری، مغناطیسی، الکتریکی و ... ترکیب $SrFe_{12}O_{19}$ را بهبود بخشید. علاوه بر نوع جانشینی، خواص این مواد به ریزساختار، شرایط ساخت، پیکربندی الکترونی، چگونگی اشغال جایگاه‌های بلورنگاری Fe^{3+} به وسیلهٔ کاتیون‌های جانشانی شده و ... وابسته است [۶]. بررسی ویژگی‌های معناطیسی پودرهای فریت استرانسیوم رسربز تهیه شده به روش مکانوشیمیایی قبلًا در ایران صورت گرفته بود [۷]. در این مقاله، هگزافریت استرانسیوم آلایش یافته با کبالت استفاده از روش شیمیایی سل-ژل ساخته شد، و تأثیر آلایش کبالت روی خواص ساختاری نمونه‌ها بررسی شد.

اسپینل یافت نمی‌شود. در این جایگاه، یون فلزی با ۵ یون اکسیژن، که شکلی به صورت دوهرمی مثلث‌القاعدۀ تشکیل می‌دهند، احاطه شده است (FeO_5) [۳]. عوامل تعیین کننده در چگونگی قرارگرفتن یون‌ها در شبکه عبارتند از: ۱) شعاع یونی، ۲) فضای خالی بین یون‌های اکسیژن، ۳) دما و ۴) تقدم مداری برای همارایی. یکی از مهم‌ترین عوامل مؤثر در جانشینی، اندازهٔ نسبی یون در مقایسه با جایگاه شبکه است. از آن‌جاکه شعاع یون‌های دوظرفیتی بزرگ‌تر از یون‌های سه‌ظرفیتی است و نیز جایگاه‌های ۸ وجهی بزرگ‌تر از جایگاه‌های ۴ وجهی هستند، لذا یون‌های سه‌ظرفیتی مانند Fe^{3+} ، ترجیحاً در جایگاه‌های ۸ وجهی و یون‌های دوظرفیتی مانند Co^{2+} ، در جایگاه‌های ۴ وجهی قرار می‌گیرند [۴]. از ۱۲ یون Fe^{3+} در ساختار ششگوشی نوع M، ۸ یون در جایگاه‌های شبکه $12k$ ، $2a$ و $2b$ با اسپین بالا (\uparrow)، و ۴ یون دیگر Fe^{3+} در جایگاه‌های $4f_1$ و $4f_2$ با اسپین پایین (\downarrow) قرار می‌گیرند. بنابراین سه زیرشبکه‌ی $2a$ ، $2b$ و $2a$ ، $12k$ موازی و با دو زیرشبکه‌ی ($4f_1$ و $4f_2$) به صورت پادموازی قرار می‌گیرند که به‌واسطه برهمکنش‌های



شکل ۱ ساختار بلوری فریت‌های ششگوشی نوع M [۲].

واحد بسیط، λ طول موج پرتو X، β پهنهای نصف قله‌ی بیشینه، θ نصف زاویه‌ی قله‌ی بیشینه، I_x و I_y به ترتیب شدت پرتو ایکس مربوط به فازهای مختلف x و y هستند [۸]. برای بررسی ریزساختار نمونه‌ها، از میکروسکوپ الکترونی روبشی (SEM) مدل S-4160/Hitachi استفاده شد. برای شناسایی نوع گروههای عاملی و پیوندهای موجود در نمونه‌های تهیه شده، از بیناب‌سنجه فروسرخ - تبدیل فوریه (FT-IR) مدل BOMEN/MB102 در گستره‌ی عدد موج $4000\text{--}400\text{ cm}^{-1}$ استفاده شد.

بحث و بررسی

شکل‌های ۲ تا ۵، به ترتیب الگوهای XRD پودرهای $\text{SrFe}_{12-x}\text{Co}_x\text{O}_{19}$ با $x=0.0, 0.1, 0.2, 0.3, 0.4, 0.5$ و نمونه‌های $\text{SrFe}_{12-x}\text{Co}_x\text{O}_{19}$ با $x=0.0, 0.6, 0.8, 1.0, 1.6, 2.0$ را نشان می‌دهند. همه‌ی این الگوهای با کارت استاندارد وابسته به پارامترهای شبکه ششگوشی $\text{A} = 5.886\text{ \AA}$ و $a = 5.886\text{ \AA}$ ، $V_{\text{cell}} = 691.17\text{ \AA}^3$ ، $c = 23.037$ ، حجم سلول واحد بسیط $d_x = 5/1\text{ gr cm}^{-3}$ و $d_x = 5/1\text{ gr cm}^{-3}$ چگالی نمونه بر مبنای داده‌های پرتو ایکس و قله‌های پراش با مقادیر 2θ ۳۴.۱۸۳، ۳۲.۳۵۲، ۵۶.۸۵۲، ۳۷.۱۲۱، ۳۷.۱۲۱، ۶۳.۱۳۲، ۳۰.۳۲۵ درجه، که به ترتیب به صفحات پراش $(11\bar{4}), (1\bar{1}0), (11\bar{0}), (20\bar{3}), (2\bar{2}0)$ و $(10\bar{7})$ مربوط می‌شوند، $\alpha-\text{Fe}_2\text{O}_3$ موجود در برخی نمونه‌ها، با کارت استاندارد (JCPDS# 33-1340)، که در آن، قله‌های پراش با مقادیر 2θ ۳۳.۰۶۴، ۳۳.۱۵۳، ۳۵.۶۱۲، ۵۴.۰۹۱ و ۴۹.۴۸ درجه، به ترتیب به صفحات پراش $(11\bar{4}), (1\bar{1}0), (11\bar{0}), (20\bar{3}), (2\bar{2}0)$ و $(10\bar{7})$ مربوط می‌شوند، CoFe_2O_4 همچنانی، فاز ثانویه فریت کبالت تشکیل شده در برخی نمونه‌های آلایش‌بافت، با کارت استاندارد (JCPDS# 22-1086)، که در آن، قله‌های پراش با مقادیر 2θ ۳۵.۴۳۷، ۳۵.۵۸۵، ۶۲.۵۸۵، ۵۶.۹۷۳، ۳۰.۰۸۴ و ۵۳.۴۴۵ درجه، به ترتیب به صفحات پراش $(11\bar{1}), (3\bar{1}0), (4\bar{0}0)$ ، مربوط می‌شوند، برآش دارند. با توجه به شکل ۲، با افزایش مقدار x تا ۰.۵، قله‌های پراش مربوط به فاز نامغناطیسی هماتیت ($\alpha-\text{Fe}_2\text{O}_3$) ظاهر شده است، در حالی که هیچ اثری از قله‌های وابسته به کبالت یا ترکیبات کبالتدار وجود ندارد. همه‌ی این نمونه‌ها دارای ساختار بلوری ششگوشی نوع M بوده و قله‌های پراش

شرح آزمایش و اندازه‌گیری‌ها

برای تهیه نانوذرات هگزافریت استرانسیوم آلائیده با کبالت، نیترات آهن ۹ آبه، نیترات کبالت ۶ آبه و نیترات استرانسیوم را در آب یون‌زدایی شده حل کرده و سپس برای همگن ساختن محلول، از یک همزن مغناطیسی استفاده شد. پس از آن که مواد اولیه به طور کامل حل شدن، اسید سیتریک با نسبت مولی ۱ به ۱ اسید سیتریک به Si^{2+} ، به محلول اضافه شد. برای این‌که محلول اسیدی در محیطی خنثی به ژل تبدیل شود، از بازی که توانایی اکسایش مواد اولیه مورد نظر را داشته باشد، استفاده شد. از آن جاکه آمونیاک ($\text{NH}_3\cdot\text{H}_2\text{O}$) برای واکنش دادن بین نیترات‌ها و اسید سیتریک باز مناسبی است، بنابراین با اضافه کردن تدریجی آمونیاک، مقدار pH محلول روی عدد ۶ تنظیم شد (بسته به مقدار ماده‌ی نهایی که می‌خواهیم تولید نماییم، مقدار آمونیاک مورد نیاز برای کردن سل متفاوت است). ژل حاصل را در دمای 90°C خشک کرده و پس از مدتی، ژل خشک شده در دمای 1000°C را به مدت ۲ ساعت گرماییم. شاخصه‌های ساختاری نمونه‌های تهیه شده از قبیل پارامترهای شبکه (a، c) (رابطه‌ی ۱)، حجم سلول واحد (رابطه‌ی ۲)، چگالی نمونه بر مبنای داده‌های پرتو ایکس (رابطه‌ی ۳)، اندازه‌گیری بلورکها (D) با رابطه‌ی دبای - شر (رابطه‌ی ۴) و درصد فازهای موجود در نمونه‌ها (رابطه‌ی ۵)، با استفاده از داده‌های الگوی پراش پرتو ایکس به دست آمده توسط پراش‌سنجه پرتو مدل PW-1840 ساخت شرکت فیلیپس مشخص شدند. تعداد قله‌ها برای تعیین درصد فازها، همان قله‌های مشخص شده روی الگوهای پراش نمونه‌ها بودند.

$$\frac{1}{d_{\text{hkl}}^2} = \frac{4\sin^2\theta}{\lambda^2} = \frac{4}{3} \left(\frac{h^2 + hk + k^2}{a^2} \right) + \frac{l^2}{c^2} \quad (1)$$

$$V_{\text{cell}} = 0.866a^2c \quad (2)$$

$$d_{\text{x-ray}} = d_x = \frac{ZM}{N_A V_{\text{cell}}} \quad (3)$$

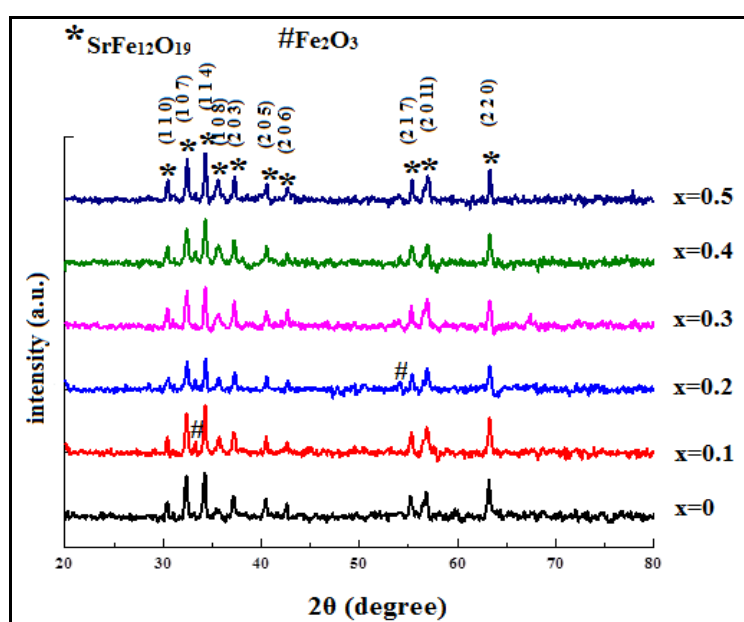
$$D = \frac{0.89\lambda}{\beta \cos \theta} \quad (4)$$

$$x\% = \times 100 \frac{\sum I_x}{\sum I_x + \sum I_y + \dots} \quad (5)$$

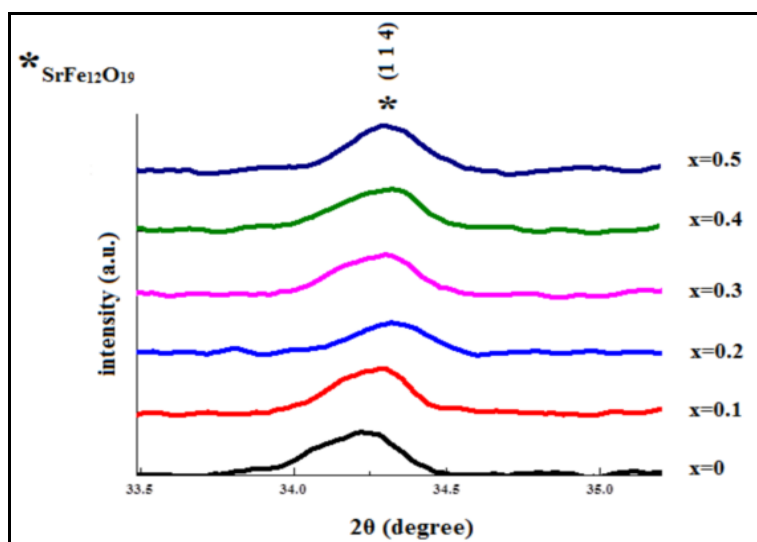
در روابط بالا، a و c پارامترهای شبکه‌ی ششگوشی، Z تعداد واحدهای فرمولی در یک سلول واحد (در اینجا مساوی ۲ است)، M جرم مولی، N_A عدد آوگادرو، V_{cell} حجم سلول

شود و این باعث بهبود خواص مغناطیسی می‌شود [۱۰، ۹]. هم‌چنین، تغییر در شدت نسبی الگوها را می‌توان به چگونگی اشغال جایگاه‌های بلورنگاری شبکه بلوری با یون‌های Co^{2+} ، O^{2-} و Fe^{3+} نسبت داد [۱۱]. با توجه به شکل ۳، قله‌ی بیشینه پراش (۱۱۰) مربوط به $\text{SrFe}_{12}\text{O}_{19}$ با افزایش x ، نسبت به نمونه خالص، به سمت زاویه‌های بزرگ‌تر جابه‌جا شده است، که به‌واسطه کاهش ثابت شبکه موجب شده است (جدول ۱)، و این نیز اشاره به این دارد که یون‌های مهمان Co^{2+} در جایگاه‌های بلوری هگزافریت استرانسیوم قرار گرفته‌اند [۱۲].

آن‌ها، با هگزافریت استرانسیوم خالص همخوانند و تنها در شدت با یکدیگر تفاوت دارند. بنابراین نتیجه گرفته می‌شود که یون Co^{2+} می‌تواند به طور کامل و به راحتی درون جایگاه‌های شبکه‌ی بلوری ششگوشی مغناطولیمیت $\text{SrFe}_{12}\text{O}_{19}$ حل شود و هیچ فاز میانی از قبیل مونوفریت (MFe_2O_4)، اورتوفریت (RFe_2O_3) و غیره نیز در آن تشکیل نشوند. به طور کلی این تأیید می‌کند که جایگاه‌های خالی دارای کمبود جزئی Sr^{2+} و O^{2-} موجود در شبکه ششگوشی، می‌توانند با این یون‌های مهمان (Co^{2+}) پر شوند و از این‌رو فاز ثانویه تشکیل نمی‌-



شکل ۲ الگوی XRD نانوذرات $\text{SrFe}_{12-x}\text{C}_{x}\text{O}_{19}$ (x = ۰, ۰/۱, ۰/۲, ۰/۳, ۰/۴, ۰/۵) با دما و زمان گرمادهی به ترتیب 1000°C و 2h .



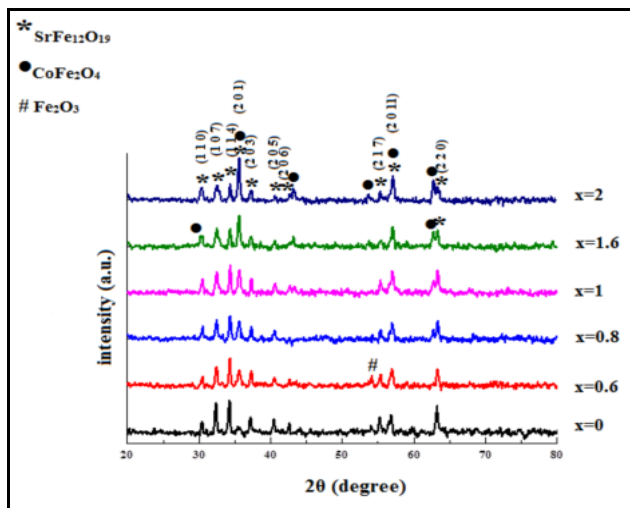
شکل ۳ قله‌های بیشینه XRD نانوذرات $\text{SrFe}_{12-x}\text{C}_{x}\text{O}_{19}$ (x = ۰, ۰/۱, ۰/۲, ۰/۳, ۰/۴, ۰/۵) با دما و زمان گرمادهی به ترتیب 1000°C و 2h .

جدول ۱ پارامترهای شبکه‌ی ششگوشی (c)، نسبت c/a، حجم سلول واحد، چگالی نمونه بر مبنای پرتو ایکس، درصد فازهای موجود در نمونه و متوسط اندازه بلورک‌های نانوذرات $\text{SrFe}_{12-x}\text{Co}_x\text{O}_{19}$ با درصدهای مولی متفاوت با دما و زمان گرمادهی به ترتیب 1000°C و 2h

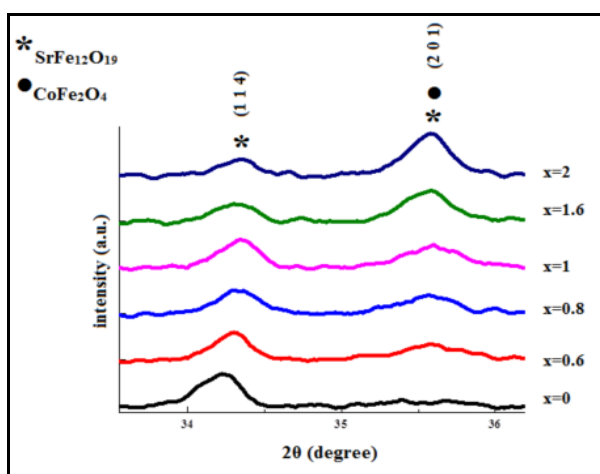
X	a(Å)	c(Å)	c/a	نسبت	حجم سلول واحد(\AA^3)	جرم مولی (g/mol)	d_x (gem $^{-3}$)	درصد فازهای موجود در نمونه	متوسط اندازه بلورک‌ها (nm)
•	5,88	23,23	3,95		695,61	1061,75	5,07	100% $\text{SrFe}_{12}\text{O}_{19}$	25,72
0,1	5,89	23,22	3,94		698,15	1062,06	5,05	93,40% $\text{SrFe}_{12-x}\text{Co}_x\text{O}_{19}$ 6,60% Fe_2O_3	28,77
0,3	5,88	23,07	3,93		690,82	1062,68	5,11	100% $\text{SrFe}_{12-x}\text{Co}_x\text{O}_{19}$	28,68
0,5	5,88	23,13	3,94		692,08	1063,29	5,10	96,45% $\text{SrFe}_{12-x}\text{Co}_x\text{O}_{19}$ 3,55% Fe_2O_3	29,93
0,8	5,87	23,19	3,95		692,17	1064,22	5,11	77,82% $\text{SrFe}_{12-x}\text{Co}_x\text{O}_{19}$ 2,44% Fe_2O_3 18,74% CoFe_2O_4	27,62
1	5,85	23,07	3,94		684,97	1064,84	5,16	78,95% $\text{SrFe}_{12-x}\text{Co}_x\text{O}_{19}$ 21,05% CoFe_2O_4	27,46
1,6	5,87	23,17	3,95		690,88	1066,69	5,13	53,11% $\text{SrFe}_{12-x}\text{Co}_x\text{O}_{19}$ 46,89% CoFe_2O_4	23,87
2	5,88	23,07	3,93		690,08	1067,93	5,14	50,71% $\text{SrFe}_{12-x}\text{Co}_x\text{O}_{19}$ 49,29% CoFe_2O_4	26,47

که کم است ($x = 0,6-2$) فازهای دیگری از قبیل Fe_2O_3 ، CoFe_2O_4 ، ظاهر می‌شوند. از شکل ۵، پیداست که با افزایش مقدار x ، شدت قله‌های وابسته به فاز CoFe_2O_4 افزایش، و در حالی که شدت قله‌های مربوط به فاز اصلی $\text{SrFe}_{12}\text{O}_{19}$ کاهش یافته است.

با توجه به الگوی پراش شکل ۴ مشاهده می‌شود که با افزایش بیشتر مقدار آلایش کبات (یعنی $x > 0,5$)، قله‌های پراش وابسته به $\alpha\text{-Fe}_2\text{O}_3$ به تدریج حذف و قله‌های مربوط به فریت کبات (CoFe_2O_4) ظاهر می‌شوند. علت آن است که ناخالصی‌های CoFe_2O_4 شامل $\alpha\text{-Fe}_2\text{O}_3$ ، در نمونه‌هایی که دارای Fe بیشتری هستند ($x = 0-0,5$) ظاهر می‌شوند. از طرفی در نمونه‌هایی



شکل ۴ الگوی XRD نانوذرات $\text{SrFe}_{12-x}\text{Co}_x\text{O}_{19}$ (x= 0, 0,6, 0,8, 1, 1,6, 2) با دما و زمان حرارتدهی به ترتیب 1000°C و 2h .



شکل ۵ قله‌های بیشینه‌ی XRD نانوذرات SrFe_{12-x}CoxO₁₉ (x = ۰، ۰.۶، ۰.۸، ۱، ۱.۶، ۲) با دما و زمان گرمادهی به ترتیب ۱۰۰۰°C و ۰.۲h.

(الف) از آن جاکه چگالی بار یون Fe³⁺ نسبت به یون Co²⁺ کمتر است، بنابراین دفع Co²⁺ بهوسیله‌ی یون‌های مجاور در شبکه کاهش خواهد یافت، برای این‌که پایداری کلی ساختار حفظ شود، ساختار بلوری منقبض می‌شود که به کاهش مقدار c می‌انجامد.

(ب) با توجه به این‌که شعاع یونی مهمان Co²⁺ (0.745 Å) بیشتر از شعاع یونی میزان Fe³⁺ (0.645 Å) است [۱۴]، بنابراین افزایش x به افزایش مقدار c منجر خواهد شد. با توجه به نتایج تجربی به‌دست آمده در این پژوهش (شکل ۷)، می‌توان کاهش مقدار c را ناشی از اختلاف بین چگالی بار یون‌های Co²⁺ و Fe³⁺، نسبت داد. با توجه به نتایج بدست آمده در این مقاله، می‌توان نتیجه گرفت که کاهش ثابت شبکه c با افزایش x، ناشی از اختلاف بین شعاع‌های یونی نیست بلکه به تغییر انرژی تبادلی (اختلاف بین چگالی بار یون‌ها) پس از جانشینی Co²⁺، مربوط می‌شود. نکته قابل توجه این‌است که کاهش مقدار ثابت شبکه c با افزایش x، قرار گرفتن یون‌های Co²⁺ در جایگاه‌های شبکه بلوری را تأیید می‌کند [۱۵].

۳. با افزایش مقدار x، مقدار حجم سلول واحد نمونه‌ها، به‌علت کاهش مقدار ثابت شبکه c، کاهش یافته است (شکل ۸).

۴. مقدار چگالی نمونه بر مبنای پرتو ایکس با افزایش مقدار x افزایش می‌یابد (شکل ۹). علت این افزایش آن است که طبق رابطه‌ی (۳)، چون d_x به M و V_{cell} وابسته است و از طرفی با افزایش مقدار x جرم مولی (M) افزایش و V_{cell} کاهش یافته است، بنابراین d_x افزایش می‌یابد. بنابر رابطه‌ی (۶) با افزایش d_x، تخلخل نیز افزایش می‌یابد [۱۶]. در رابطه‌ی ۶، چگالی d_b توده است. افزایش مقدار تخلخل با افزایش جانشینی‌ها، نشان

پارامترهای شبکه ششگوشی (c/a)، نسبت c/a، حجم سلول واحد (V)، چگالی نمونه بر مبنای داده‌های پرتو ایکس (d_x)، درصد فازهای موجود در نمونه و میانگین اندازه‌ی بلورک-ها (D) برای هریک از نمونه‌های SrFe_{12-x}CoxO₁₉ (x=0-2) در جدول ۱ آورده شده‌اند.

براساس نتایج به‌دست آمده در جدول ۱ داریم:

۱. بنابر نظریه ورنستگن و استیولس، با بررسی نسبت پارامترها (c/a) می‌توان نوع ساختار را تعیین کرد. بنابر این نظریه، اگر مقدار c/a کمتر از ۳/۹۸ باشد آن‌گاه ساختار موردنظر یک ساختار ششگوشی نوع M است [۱۳]. از آن‌جاکه مقادیر c/a برای همه‌ی نمونه‌های ساخته شده در این پژوهش کمتر از ۳/۹۸ به‌دست آمده‌اند بنابراین می‌توان نتیجه گرفت که ساختار همه‌ی نمونه‌ها، ششگوشی از نوع M هستند.

۲. مقدار ثابت شبکه‌ی a با افزایش مقدار آلایش (x)، تقریباً ثابت باقی مانده است (شکل ۶)، در حالی‌که مقدار ثابت شبکه‌ی c با افزایش x، کاهش یافته است (شکل ۷). علت آن است که با افزایش جانشینی یون Co²⁺، تغییر اندازه‌ی محور اصلی (محور c) بیشتر از محور دیگر (محور a) است. به‌طور کلی در این‌گونه جانشینی‌ها، چگونگی تغییر مقدار ثابت شبکه-

ی c با افزایش x را می‌توان با دلایل زیر توجیه کرد [۱۱]:

(الف) بر اساس اختلاف بین چگالی بار یون‌های مهمان و میزان. (ب) براساس ماهیت و اختلاف بین شعاع‌های یونی مهمان و میزان.

میزان.

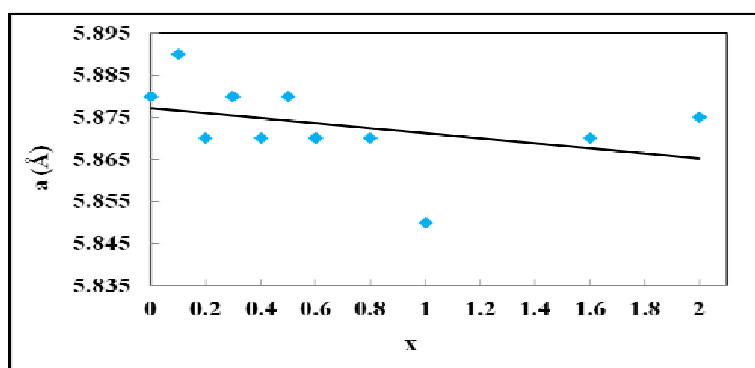
با توجه به موارد فوق، می‌توان برای نمونه‌های تهیه‌شده در این پژوهش، چگونگی تغییر مقدار ثابت شبکه‌ی c با افزایش x را، به صورت زیر بیان کرد:

به صورت زیر بیان کرد:

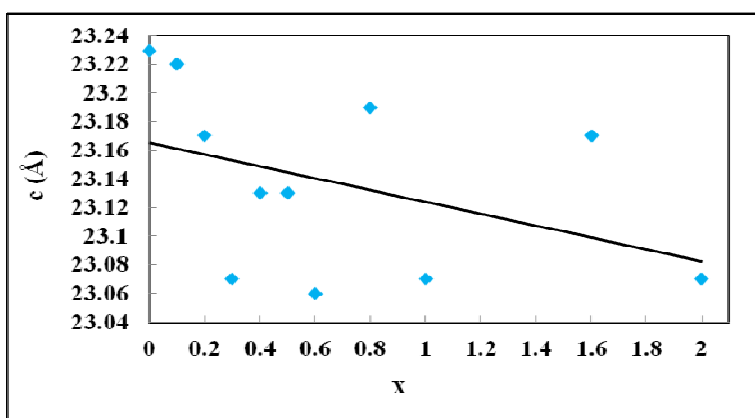
می‌رود که با افزایش تخلخل، اندازه‌ی بلورک‌ها کاهش یابد (مطابق مورد ۵ در زیر).

$$P = 1 - \frac{db}{dx} \quad (6)$$

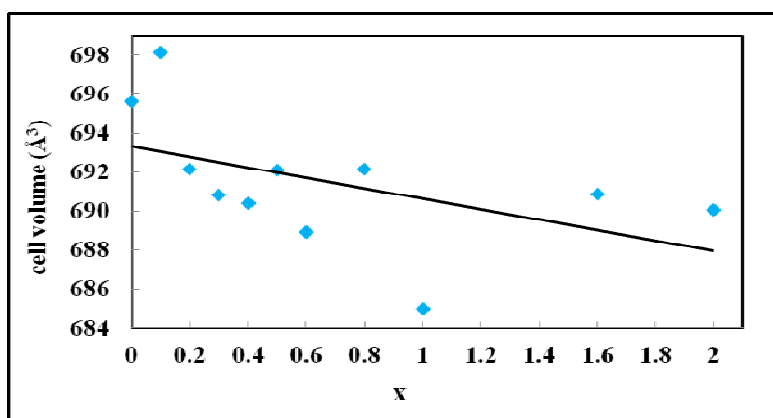
می‌دهد که عنصر مهمان می‌تواند فرآیند متراکم کردن ماتریس هگزافریت را کند سازد. تغییر تخلخل نیز بهنوبه خود با تغییر اندازه بلورک‌ها همخوانی دارد، به‌گونه‌ای که تخلخل با جدایی ذرات نمونه از یکدیگر افزایش می‌یابد [۱۱]. بنابراین، انتظار



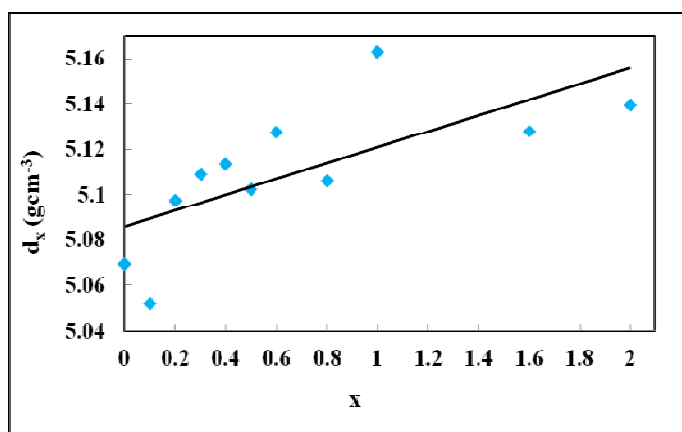
شکل ۶ نمودار پارامتر شبکه a نانوذرات SrFe₁₂O₁₉ آلایش یافته با کبالت با درصدهای مولی متفاوت با دما و زمان گرمادهی به ترتیب ۱۰۰۰°C و ۰.۲h



شکل ۷ نمودار پارامتر شبکه c نانوذرات SrFe₁₂O₁₉ آلایش یافته با کبالت با درصدهای مولی متفاوت با دما و زمان گرمادهی به ترتیب ۱۰۰۰°C و ۰.۲h



شکل ۸ نمودار حجم سلول واحد نانوذرات SrFe₁₂O₁₉ آلایش یافته با کبالت با درصدهای مولی متفاوت با دما و زمان گرمادهی به ترتیب ۱۰۰۰°C و ۰.۲h

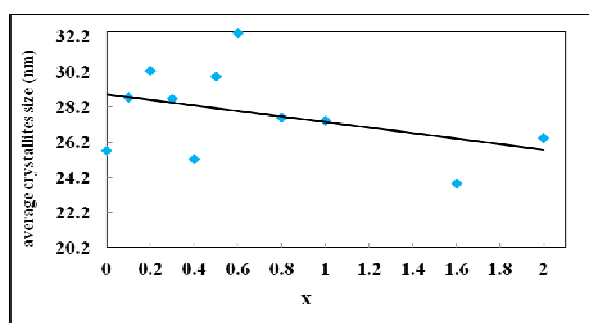


شکل ۹ نمودار چگالی نمونه بر مبنای پرتو ایکس (d_x) نانوذرات $\text{SrFe}_{12}\text{O}_{19}$ آلایش یافته با کبالت با درصدهای مولی متفاوت با دما و زمان گرمادهی به ترتیب 1000°C و 2h .

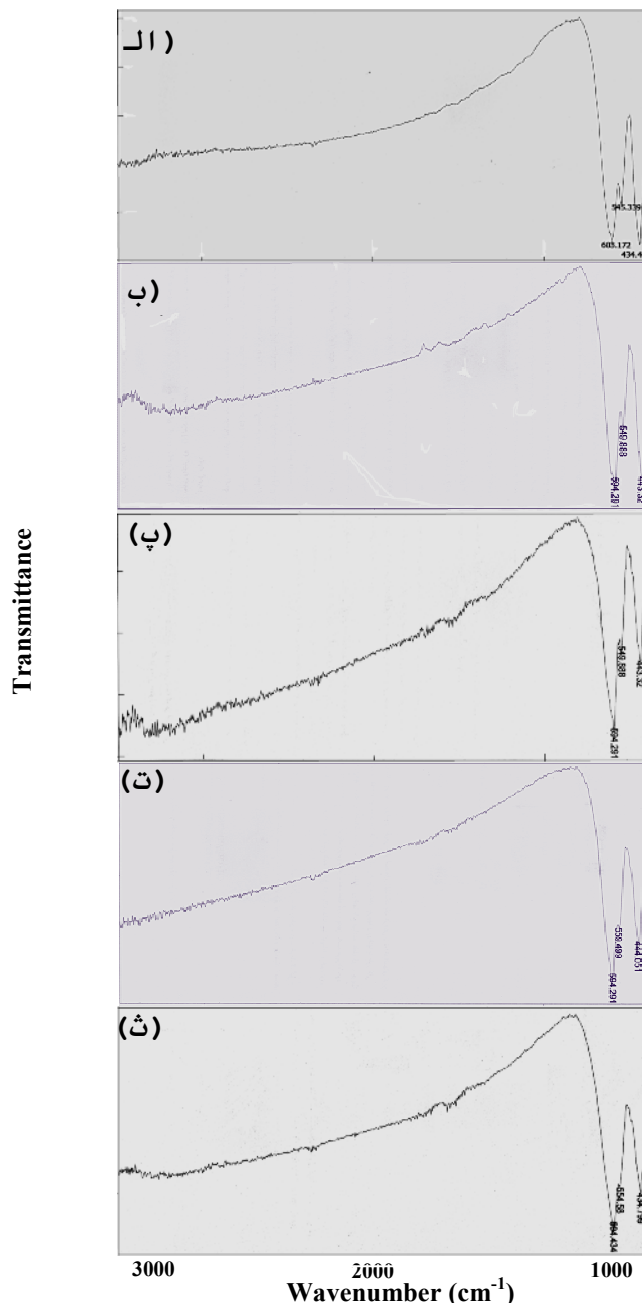
Sr $\text{Fe}_{12}\text{O}_{19}$ است [۸]. این نتایج بیانگر اینند که یون‌های Co^{2+} در درون جایگاههای شبکه بلوری قرار می‌گیرند. ریزساختار، نقشی کلیدی در دست‌یابی به خواص الکتریکی و دی‌الکتریکی مطلوب، برای کاربردهای متنوع هگزافریت‌ها، ایفا می‌کند [۱۱]. ریخت‌شناسی و ریزساختار نمونه‌ها با استفاده از میکروسکوپ الکترونی روبشی بررسی شده است (شکل ۱۲). میانگین اندازه‌ی ذرات نمونه‌ها، با استفاده از نرم افزار measurement و با شمارش ۱۰۰ ذره محاسبه شده است. نتایج به دست آمده با تصاویر SEM، در جدول ۲ و شکل ۱۳ نشان داده شده‌اند. ریخت‌شناسی بلورهای حقيقی با دو عامل مهم تعیین می‌شود: یکی پارامترهای داخلی، ناشی از پیوند دورهای ناهمسانگرد، که ساختار بلوری را تشکیل می‌دهد، و دیگری پارامترهای خارجی، مانند فرایند رشد بلور یا تجزیه‌ی بلور در بعد اتمی است. بلورها می‌توانند ریخت‌های گوناگونی را نمایش دهند، زیرا آن ریخت‌ها از بهم پیوستگی عوامل ساختاری داخلی و عوامل خارجی طی فرایند رشد بلور شکل می‌گیرند [۲۰]. از آن‌جایی که در اثر آلایش یون کبالت با نمونه‌ی $\text{SrFe}_{12}\text{O}_{19}$ ساختار بلوری تغییر نمی‌کند، بنابراین علت تغییر ریخت‌شناسی نمونه‌ها در اثر آلایش کبالت را می‌توان به تغییر در فرایند رشد بلور نسبت داد. در شکل ۱۳ دیده می‌شود که نمونه‌ی $\text{SrFe}_{12-x}\text{Co}_x\text{O}_{19}$ ($x = 0.1$) نسبت به دیگر نمونه‌ها دارای ریخت‌شناسی کاملاً متفاوتی است، بنابراین به دلیل افزایش ناهمسانگردی ریخت‌شناسی در این نمونه، می‌توان انتظار داشت که این نمونه دارای خواص مغناطیسی بهتری نسبت به دیگر نمونه‌ها باشد.

۵. میانگین اندازه‌ی بلورک‌ها با افزایش مقدار x ، کاهش یافته است (شکل ۱۰). علت این کاهش حضور یون‌های مهمان است که از فرآیند رشد بلورک‌های هگزافریت، به علت وجود مرزدانه‌ها، جلوگیری می‌کنند. به بیانی دیگر با افزایش x مقدار حجم سلول واحد نمونه‌ها کمتر شده (مورد ۳) و در نتیجه انتقال جرم را در میان ذرات همسایه طی فرآیند رشد بلور کاهش داد، بنابراین آن را به سمت دانه‌های کوچک‌تر سوق می‌دهد [۱۷]. مقادیر اندازه‌ی بلورک‌های داده شده در جدول ۱، بسیار کوچک‌تر از اندازه‌ی بحرانی بلورک‌ها در ساختار تک‌حوزه $\text{SrFe}_{12}\text{O}_{19}$ ، محاسبه‌شده با نظریه‌ی کیتل (۲۷۰ nm)، هستند و بیانگر این است که می‌توان ذراتی با ساختار تک‌حوزه با روش سل-ژل ساخت [۱۵]. از آن‌جایی که دانه‌های مغناطیسی با اندازه‌های کمتر از ۵۰ nm دارای نسبت علامت به نوافه مناسبی برای کاربرد محیط‌های ضبط مغناطیسی با چگالی بالا هستند، به نظر می‌رسد که نمونه‌های ساخته شده در این پژوهش، برای این منظور مناسب هستند [۱۸].

شکل ۱۱، طیف IR $\text{FT}-\text{IR}$ نانوذرات $\text{SrFe}_{12-x}\text{Co}_x\text{O}_{19}$ با مقادیر متفاوت x را نشان می‌دهد. با توجه به شکل ۱۱، طیف FT-IR همه‌ی نمونه‌های آلایش یافته شامل سه پیوند جذبی است که همه‌ی این پیوندها، متناظر با ارتعاش‌های کششی پیوندهای فلز-اکسیژن در فریت‌ها هستند. پیوندهای جذبی در گستره $550-580 \text{ cm}^{-1}$ و $430-470 \text{ cm}^{-1}$ ، به ترتیب متناظر با تشکیل خوشه‌های چهار وجهی و هشت وجهی‌اند که حضور پیوند کششی فلز-اکسیژن را در $\text{SrFe}_{12}\text{O}_{19}$ تأیید می‌کنند [۱۹]. هم‌چنین جذب در حوالی 605 cm^{-1} وابسته به



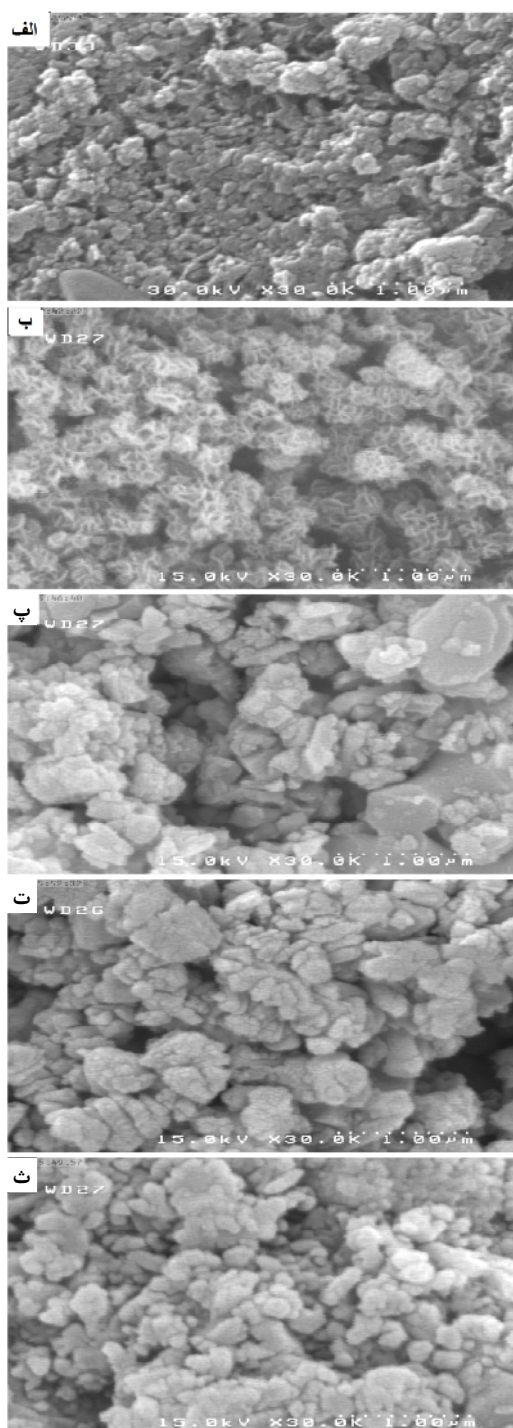
شکل ۱۰ نمودار میانگین اندازه بلورکهای نانوذرات $\text{SrFe}_{12}\text{O}_{19}$ آلایش یافته با کبالت با درصدهای مولی مختلف با دما و زمان گرمادهی بهترتیب 1000°C و 2h .



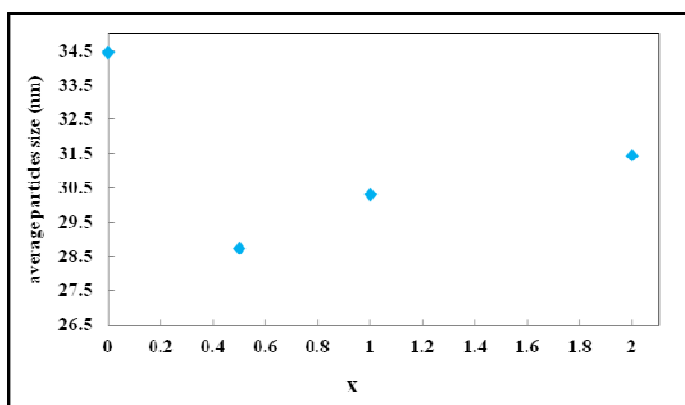
شکل ۱۱ طیف FT-IR نانوذرات $\text{SrFe}_{12-x}\text{Co}_x\text{O}_{19}$ با مقادیر x (الف) $x=0$ ، (ب) $x=0.5$ ، (پ) $x=1$ ، (ث) $x=2$ با دما و زمان گرمادهی بهترتیب 1000°C و 2h .

جدول ۲ ریختشناسی و میانگین اندازه‌ی ذرات $\text{SrFe}_{12}\text{O}_{19}$ آلایش یافته با کبالت با درصدهای مولی متفاوت با دما و زمان گرمادهی بهترتیب 1000°C و 0.2h .

X	۰	0.1	0.5	۱	۲
ریختشناسی	کروی	شیرینی پنجره‌ای (گل)	کروی	کروی	کروی
متوسط اندازه‌ی ذرات (nm)	۳۴.۴۶	قابل محاسبه نیست.	۲۸.۷۴	۳۰.۳۰	۳۱.۴۴



شکل ۱۲ تصاویر SEM نانوذرات $\text{SrFe}_{12-x}\text{Co}_x\text{O}_{19}$ با مقادیر x (الف) $x = 0$ ، (ب) $x = 0.1$ ، (پ) $x = 0.5$ ، (ت) $x = 1$ و (ث) $x = 2$ با دما و زمان گرمادهی بهترتیب 1000°C و 0.2h .



شکل ۱۳ نمودار میانگین اندازه‌ی نانوذرات $\text{SrFe}_{12}\text{O}_{19}$ آلایش یافته با کبالت با درصدهای مولی متفاوت با دما و زمان گرمادهی به ترتیب 1000°C و 2h

[3] Iqbal M. J., Ashiq M. N., Hernandez-Gomez P., Munoz J. M. M., Cabrera C. T., "Influence of annealing temperature and doping rate on the magnetic properties of Zr-Mn substituted Sr-hexaferrite nanoparticles," *Alloys and Compounds* **500**, (2010) 113.

[4] Goldman A., *Modern Ferrite Technology*, Springer Science+Business Media, Inc, 2nd Ed (2006).

[۵] عرب ع.، یوسفی م. ح.، مضفری م.، سیاف ن.، عمیقیان ج.، "تهیه نانوپودر فریت‌های استرانسیوم جانشانی شده با منگنز، نیکل و تیتانیوم و بررسی ویژگی‌های مغناطیسی، مقاله‌نامه کنفرانس فیزیک ایران، ۱۳۸۸.

[6] Hussain S., Shah N. A., Maqsood A., Ali A., Naeem M., Ahmad Adil Syed W., "Characterization of Pb-doped Sr-Ferrites at Room Temperature," *Superconductivity and Novel Magnetism* **24**, (2011) 1245.

[۷] مضفری م.، عمیقیان ج.، "تهیه پودر فریت استرانسیوم پس-ریز به روش مکانوشیمیایی و بررسی ویژگی‌های مغناطیسی آن، مجله بلورشناسی و کانی‌شناسی ایران، ۱۳۸۰، ۹، ۳۷-۴۷.

[8] Iqbal M. J., Ashiq M. N., Gul I. H., "Physical, electrical and dielectric properties of Ca-substituted strontium hexaferrite ($\text{SrFe}_{12}\text{O}_{19}$) nanoparticles synthesized by co-precipitation method," *Magnetism and Magnetic Materials* **322**, (2010) 1720.

[9] Lishun Y., Liang Q., Jingwu Z., Meiyuan J., Liqiang J., Jiawei S., "Magnetic properties of La-Zn substituted Sr-hexaferrites by self-propagation high-temperature synthesis," *Rare Earths* **26**, (2008). 81

[10] Ghasemi A., Morisako A., "Structural and electromagnetic characteristics of substituted

برداشت

با افزایش میزان آلایش کبالت تا $x = 0.5$ نمونه‌ها دارای ساختار بلوری هشت‌گوشی نوع M بوده و قله‌های پراش آن‌ها با هگزافریت استرانسیوم خالص همخوانند. بنابراین نتیجه گرفته می‌شود که یون Co^{2+} به راحتی درون جایگاه‌های شبکه‌ی بلوری هشت‌گوشی $\text{SrFe}_{12}\text{O}_{19}$ جانشین یون‌های Fe^{3+} شده است. برای مقادیر $x < 0.5$ ، فاز ثانویه CoFe_2O_4 در نمونه‌ها ظاهر می‌شود که در این حالت، اتم‌های کبالت علاوه بر جانشینی به صورت یک فاز جداگانه در ساختار باقی می‌ماند. با افزایش x مقدار ثابت شبکه a تقریباً ثابت باقی مانده در حالی که مقدار ثابت شبکه c کاهش یافته است. کاهش ثابت شبکه‌ی c ناشی از اختلاف بین شعاع‌های یونی نیست، بلکه به علت تغییر انرژی تبادلی اختلاف بین چگالی بار یون‌ها پس از جانشینی یون‌های Co^{2+} به جای Fe^{3+} است. اندازه‌ی بلورک-ها با افزایش مقدار آلایش کبالت، کاهش یافته است و از آن-جایی که دانه‌های مغناطیسی با اندازه‌های کمتر از ۵۰ nm دارای نسبت سیکنال به نویز مناسبی برای کاربرد محیط‌های ضبط مغناطیسی با چگالی بالا هستند، به نظر می‌رسد که نمونه‌های ساخته شده در این پژوهش، برای این منظور مناسب هستند.

مرجع‌ها

- [1] Valenzuela R., *Magnetic ceramics*, (Cambridge University Press, 1994).
- [2] Fang C. M., Kools F., Metselaar R., de With G., de Groot R. A., "Magnetic and electronic properties of strontium hexaferrite $\text{SrFe}_{12}\text{O}_{19}$ from first-principles calculations," *Physics: Condensed Matter* **15**, (2003) 6229.

- magnetic properties of chromium-substituted strontium hexaferrite nanoparticles,"* Magnetism and Magnetic Materials **294**, (2005) 281.
- [16] Hussain S., Maqsood A., "Structural and electrical properties of Pb-doped Sr-hexa ferrites," Alloys and Compounds **466**, (2008) 293.
- [17] Liu M., Shen X., Song F., Xiang J., and Meng X., "Microstructure and magnetic properties of electrospun one-dimensional Al^{3+} -substituted $SrFe_{12}O_{19}$ nanofibers," Solid State Chemistry **184**, (2011) 871.
- [18] Ashiq M. N., Iqbal M. J., Gul I. H., "Effect of Al–Cr doping on the structural, magnetic and dielectric properties of strontium hexaferrite nanomaterials," Magnetism and Magnetic Materials **323**, (2011) 259.
- [19] Singhal S., Namgyal T., Singh J., Chandra K., Bansal S., "A comparative study on the magnetic properties of $MFe_{12}O_{19}$ and $MAFe_{11}O_{19}$ ($M = Sr, Ba$ and Pb) hexaferrites with different morphologies," Ceramics International **37**, (2011) [20] Sunagawa I., Crystals Growth, Morphology, and Perfection, (Cambridge University Press, 2005).
- strontium hexaferrite nanoparticles,"* Magnetism and Magnetic Materials **320**, (2008) 1167.
- [11] Iqbal M. J., Farooq S., "Enhancement of electrical resistivity of $Sr_{0.5}Ba_{0.5}Fe_{12}O_{19}$ nanomaterials by doping with lanthanum and nickel," Materials Chemistry and Physics **118**, (2009) 308.
- [12] Fang Q. Q., Bao H. W., Fang D. M., Wang J. Z., Li X. G., "The effect of Zn–Nb substitution on magnetic properties of strontium hexaferrite nanoparticles," Magnetism and Magnetic Materials **278**, (2004) 122.
- [13] Teh G. B., Wong Y. C., Tilley R. D., "Effect of annealing temperature on the structural, photoluminescence and magnetic properties of sol–gel derived Magnetoplumbite-type (M-type) hexagonal strontium ferrite," Magnetism and Magnetic Materials **323**, (2011) 2318.
- [14] Kikuchi T., Nakamura T., Yamasaki T., Nakanishi M., Fujii T., Takada J., Ikeda Y., "Magnetic properties of La–Co substituted M-type strontium hexaferrites prepared by polymerizable complex method," Magnetism and Magnetic Materials **322**, (2010) 2381.
- [15] Fang Q., Cheng H., Huang K., Wang J., Li R., Jiao Y., "Doping effect on crystal structure and